# ФРАКТАЛЬНАЯ ТЕОРИЯ ВЯЗКОСТИ ДЛЯ СКОРОСТЕЙ СДВИГА, БЛИЗКИХ К НУЛЮ

В.И. Лесин, С.В. Лесин\*, ИПНГ РАН, РГУНГ им. И.М. Губкина\*, e-mail: lesinvictor@yandex.ru

### Введение

В работах [1, 2] предложена фрактальная теория вязкости неньютоновских жидких коллоидных растворов. Вытекающая из теории зависимость вязкости от концентрации и физико-химических характеристик агрегатов коллоидных частиц фрактального строения была подтверждена экспериментально на ряде типичных коллоидных растворов, в том числе на нефти, нефтепродуктах и буровых растворах. Однако изложение теории было ограничено большими скоростями сдвига -G = dV/dx, при которых гидродинамические силы вносят основной вклад в процессы отрыва и присоединения коллоидных частиц к фрактальным агрегатам. В данной работе продолжено развитие фрактальной теории для скоростей сдвига, близких к нулю, когда вклад гидродинамических сил сравним со вкладом теплового движения частиц. Исследование этой области особенно важно для условий, когда средние скорости фильтрации флюидов в пласте составляют величины порядка  $10^{-5}$  см·с<sup>-1</sup>, а скорости сдвига близки к нулевым значениям.

## Теория и эксперимент

В [1, 2] получена формула, связывающая вязкость  $\eta$  (Па·с) при данной скорости сдвига G с концентрацией n (см<sup>-3</sup>) и размерностью поверхности фрактальных агрегатов D:

$$\eta = \eta_{\infty} \left( 1 + K n a^{3} (R/a)^{D+1} \right). \tag{1}$$

Здесь а (см) – средний радиус коллоидной частицы, R (см) – средний инерциальный радиус фрактального агрегата при данной скорости сдвига G (с $^{-1}$ ),  $\eta_{\infty}$  – вязкость при бесконечной скорости сдвига (что соответствует полностью разрушенным фрактальным агрегатам), D – размерность поверхности фрактального агрегата ( $2 \le D \le 3$ , D = 2 для сферы), K – безразмерный коэффициент, учитывающий форму агрегата. Формула (1) приведена с учетом авторских дополнений, не меняющих ее общий вид, но учитывающих сохранение размерности.

Радиус фрактального агрегата связан со скоростью сдвига G соотношением [3, 4]:

$$R = ka(G_0/G)^p, (2)$$

где k – безразмерный параметр.

Путем подстановки (2) в (1) получаем зависимость

$$\eta = \eta_{\infty} \left( 1 + k^p K n a^3 (G_0 / G)^{p(D+1)} \right), \tag{3}$$

где  $G_0$  — параметр, характеризующий силу парного притяжения коллоидных частиц в агрегате, p — параметр, характеризующий разрушение агрегата в данном диапазоне значений G. Анализ работ, посвященных определению p путем численных экспериментов, показал, что эта величина сложным образом связана со многими параметрами коллоидной системы, в том числе с потенциалом взаимодействия частиц, температурой и механизмами формирования — распада фрактальных агрегатов.

Для жестких сферических частиц формула (1) совпадает с формулой Эйнштейна, когда R= а и, следовательно, коэффициент формы  $K=15/4\pi$ .

Полагая, что концентрация n — величина постоянная, и принимая  $k^p K n a^3 G_o^{p(D+1)} = B$ , а  $\alpha = p(D+1)$ , получаем полуэмпирическую формулу, предложенную в [5]:

$$\eta = \eta_{\infty} \left( 1 + BG^{-\alpha} \right). \tag{4}$$

В формуле (4) показатель степени  $\alpha$  зависит как от фрактальной размерности площади агрегата коллоидных частиц, так и от параметров взаимодействия коллоидных частиц, отражающихся в величине p.

Формула (4) совпадает с формулой Оствальда  $\eta \sim G^{-\alpha}$  для области значений G, когда  $BG^{-\alpha}>>1$  и  $\alpha=p(D+1)={\rm const.}$ 

Широко известные и экспериментально подтвержденные зависимости являются частными случаями формулы (1) и вытекающей из нее формулы (4), где показатель α имеет ясный физический смысл и может быть определен в не зависящих от измерений вязкости экспериментах.

Зависимость (4) спрямляется в координатах  ${\rm Ln}(\eta/\eta_{\infty}-1),~{\rm Ln}G$  путем подбора величины  $\eta_{\infty}.$ 

В работе [6] подтверждено, что фрактальная модель и формула (4) применимы и для случая течения жидкости, содержащей фрактальные агрегаты в плоских щелях высотой 1,5 и 4 мкм. Этот экспериментально установленный факт позволяет применять формулу (4) и для моделирования движения нефти и воды в реальных условиях пласта.

Рис. 1 иллюстрирует подход к расчету зависимости вязкости от скорости сдвига. Поверхность фрактального агрегата движется в соответствии с градиентом распределения скоростей во вмещающей жидкости, и значения скоростей линий тока  $V_x$  сохраняют свои

значения вплоть до границ фрактального агрегата. Это приводит к тому, что агрегат вращается вокруг своего центра инерции с частотой G, а каждая точка поверхности радиуса R вращается относительно центра инерции со скоростью GR. При этом горизонтальная составляющая скорости точки на поверхности совпадает со скоростью вмещающей жидкости  $V_x$ .

Действительно, обозначая величиной  $\theta$  угол, который составляет вектор, направленный из центра инерции к поверхности агрегата, с линией тока, проходящей через центр масс, получаем горизонтальную составляющую скорости поверхности в этой точке, равную (см. рис. 1):

$$V(\theta) = V_{ci} + GR\sin\theta , \qquad (5)$$

где  $V_{ci}$  – скорость центра инерции агрегата.

Горизонтальная скорость жидкости на этом расстоянии  $R\sin\theta$  от линии тока жидкости, проходящей через центр инерции, также равна  $V_x = V_{ci} + GR\sin\theta$ . Следовательно, все точки поверхности агрегата движутся со скоростями, равными скоростям течения вмещающей жидкости, и вращение агрегата позволяет сохранять градиент скорости.

Очевидно, что величина вязкости в рамках предложенной модели стремится к постоянной конечной величине  $\eta(0)$  при  $G \to 0$ . Это связано с тем, что гидродинамическое напряжение  $S \sim GR$  уменьшается с уменьшением G, поэтому начиная с некоторого значения  $G < G_{\min}$  силы гидродинамического отрыва становятся меньше сил взаимного притяжения коллоидных частиц  $F = Aa/12h^2$  (см., например, [7]). Здесь A — константа Гамакера, равная по порядку величины kT при комнатной температуре, h — расстояние между поверхностями частиц. Из вышесказанного следует, что при  $G < G_{\min}$  вязкость  $\eta$  не будет зависеть от G, поскольку в этих условиях агрегаты можно рассматривать как твердые и недеформируемые частицы.

Оценим величину  $G_{\min}$  исходя из термодинамического подхода. Согласно этому подходу,  $G_{\min}$  соответствует такому градиенту скорости, который создает вращение агрегата с энергией, меньшей, чем тепловая энергия, приходящаяся на эту степень свободы, -kT/2. Кинетическая энергия вращения агрегата с частотой  $G_{\min}$  равна  $MR^2(2\pi G_{\min})^2$ , где M – масса фрактального агрегата. Следовательно,

$$MR^2(2\pi G_{\min})^2/2 < kT/2$$
, (6)

откуда

$$G_{\min} < (kT/4\pi^2 MR^2)^{0.5} \,. \tag{7}$$

Принимая  $R = 10^{-3}$  см,  $M = 10^{-8}$  г, получаем оценку  $G_{\min} < 2 \cdot 10^{-1}$  с<sup>-1</sup>.

На рис. 2 показан пример зависимости вязкости коллоидного раствора полимера от скорости сдвига вплоть до очень малых значений. Зависимость  $\mathrm{Ln}(\eta/\eta_\infty-1)$  от  $\mathrm{Ln}G$  снята при комнатной температуре для 6%-ного раствора ксантогената целлюлозы в воде. Молекулярный вес ксантогената 5000. Величина вязкости при  $G\to 0$  стремится к конечному значению  $\eta$  ( $G\approx 0$ )  $\approx 1,7$  Па·с. Наклон  $\alpha$  оценивается в области, где 0,1 с<sup>-1</sup> < G < 0,8 с<sup>-1</sup>, как  $\alpha\approx 0,025$ . С учетом общей тенденции снижения  $\alpha$  при уменьшении G можно полагать, что  $\alpha=0$  в этой области значений G. По мере роста G величина растет и составляет  $\alpha=0,025$ ; 0,27; 0,36; 0,6. При  $\eta$  ( $G\approx 0$ ) = 1,7 Па·с,  $\eta_\infty=0,015$  Па·с, B=100.

Следует отметить, что измерение вязкости представляет собой процедуру определения силы  $\tau$ , которая передается от вращающегося цилиндра на неподвижный цилиндр при данной скорости сдвига G. При  $G \to 0$  сила  $\tau \to 0$ , и для определения  $\eta = G/\tau$  необходимо точно определять  $\tau$ , когда время измерения может составлять несколько часов. Очевидно, что точность измерения  $\eta$  в таких условиях не может быть высокой из-за малости величины  $\tau$ .

Отметим, что величина  $\alpha$  может быть отрицательной –  $\alpha$  < 0 для малых величин G, что, в соответствии с формулой (4), соответствует росту вязкости с ростом G. Это связано с наличием потенциального барьера взаимодействия коллоидных электрически заряженных частиц и электрически заряженных фрактальных агрегатов, что препятствует присоединению коллоидных частиц к фрактальным агрегатам. В этом случае при росте G происходит преодоление потенциального барьера высотой U и, следовательно, дополнительное присоединение коллоидных частиц к фрактальным агрегатам за счет роста скорости соударения на величину  $GR\cos\theta$  (см. рис. 1). Полагая  $U=4,5\cdot 10^{-14}$  эрг (что составляет величину порядка kT при комнатной температуре), оценим кинетическую энергию столкновения как  $m_0(RG)^2/2=4,5\cdot 10^{-14}$  эрг.

Принимая массу частицы  $m_{\rm o}=10^{\text{-}12}$  г, радиус  $R=10^{\text{-}2}$  см,  $\theta=0$ , получаем оценку  $G_{\rm max}\approx 3~{\rm c}^{\text{-}1}$ .

Очевидно, что  $G_{\text{мах}}$  представляет собой оценку скорости вращения, после превышения которой гидродинамические силы начнут отрывать коллоидные частицы от агрегата и, следовательно, величина  $\alpha$  станет положительной.

На рис. 3 показана зависимость  $\text{Ln}(\eta/\eta_{\infty}-1)$  от LnG, снятая при комнатной температуре для образца нефти,  $\eta(G\to 0)\approx 25$  мПа·с,  $\eta_{\infty}=0.5$  мПа·с. Зависимость представлена в виде ломаной с наклонами участков  $\alpha=-1.35$   $(0.7\leq G\leq 1\text{ c}^{-1});\ 0.43$   $(1\leq G\leq 8\text{ c}^{-1});\ 1.06$   $(8\leq G\leq 25\text{ c}^{-1});\ 2.05$   $(25\leq G\leq 60\text{ c}^{-1});\ 6.25$   $(75\leq G\leq 60\text{ c}^{-1}).$ 

Во всех случаях величина  $p(D+1) = \alpha \to 0$  при  $G \to 0$ , из чего следует, что  $p \to 0$  при  $G \to 0$ . Такая зависимость оправданна, поскольку это означает, что со снижением гидродинамического напряжения снижаются скорости отрыва фрагментов и деформации фрактальных агрегатов.

Обработка раствора акустическими колебаниями также может приводить к отрыву фрагментов от фрактальных агрегатов, поскольку колебания сопровождаются возвратно-поступательным, ускоренным движением жидкости и возникновением переменной скорости сдвига с амплитудой  $G_{\rm ac}$ , что может приводить к разрушению фрактальных агрегатов и снижению вязкости нефти.

Отметим, что если жидкость, например нефть, подвергается действию колебаний давления, которые сопровождаются незначительными колебаниями  $G_{\rm ac}$ , то, как следует из вышеприведенного анализа, такое воздействие может сопровождаться как ростом вязкости нефти, так и отсутствием изменений вязкости. Величина  $G_{\rm ac}$  должна быть достаточно большой для достижения эффекта снижения вязкости.

Отметим, что величина  $BG^{-\alpha}$  в формуле (4) меняется непрерывно, в то время как величина  $\alpha$  меняется скачкообразно и остается постоянной в пределах некоторой области значений G.

#### Выводы

Фрактальная модель вязкости предсказывает конечные значения вязкости в области скоростей сдвига, близких к нулю, что соответствует известным экспериментальным данным. Показано, что в этой области рост скорости сдвига может сопровождаться ростом вязкости. Теоретические положения фрактальной модели подтверждены экспериментальными данными, полученными для нефти и буровых растворов.

### ЛИТЕРАТУРА

- 1. *Лесин В.И.* Фрактальная формула зависимости вязкости неньютоновской жидкости от градиента скорости. // Георесурсы, геоэнергетика, геополитика. 2011. Вып. 1(3). Режим доступа: http://www.oilgasjournal.ru
- 2. Lesin V.I., Koksharov Yu.A., Khomutov G.B. Viscosity of liquid suspensions with fractal aggregates: magnetic nanoparticles in petroleum colloidal structures. // Colloids and surfaces A: Physicochem. Eng. Aspects. 2011. Vol. 392. P. 88–94.
- 3. *Sonntag R.C., Russel W.B.* Structure and breakup of flocs subjected to fluid stresses: I–II. Shear experiments // J. Colloid. Interface Sci. 1986. Vol. 113. P. 399–413.
- 4. *Potanin A.I.*, *Verkhusha V.V.*, *Muller V.M.* Disaggregation of particles with biospecific interactions in shear flow // J. Colloid. Interface Sci. 1997. Vol. 188. P. 251–256.
- 5. *Лесин В.И.*, *Лесин С.И*. О физической природе степенной зависимости вязкости буровых суспензий от скорости сдвига // Нефтепромысловое дело. 2004. № 1. С. 37–39.
- 6. *Шатагина Е.А.*, *Шатагина А.А.*, *Шатагин И.А.* Фрактальная структура ЭЖК слоев н-тетрадекана // Молодой ученый. 2011. Т. 1, № 8. С. 12–16.
- 7. Долгоносов Б.М. Параметры равновесного спектра частиц в коагулирующей системе с распадом агрегатов // Коллоид. журн. 2001. Т. 63, № 1. С. 39–42.

# ПРИЛОЖЕНИЕ

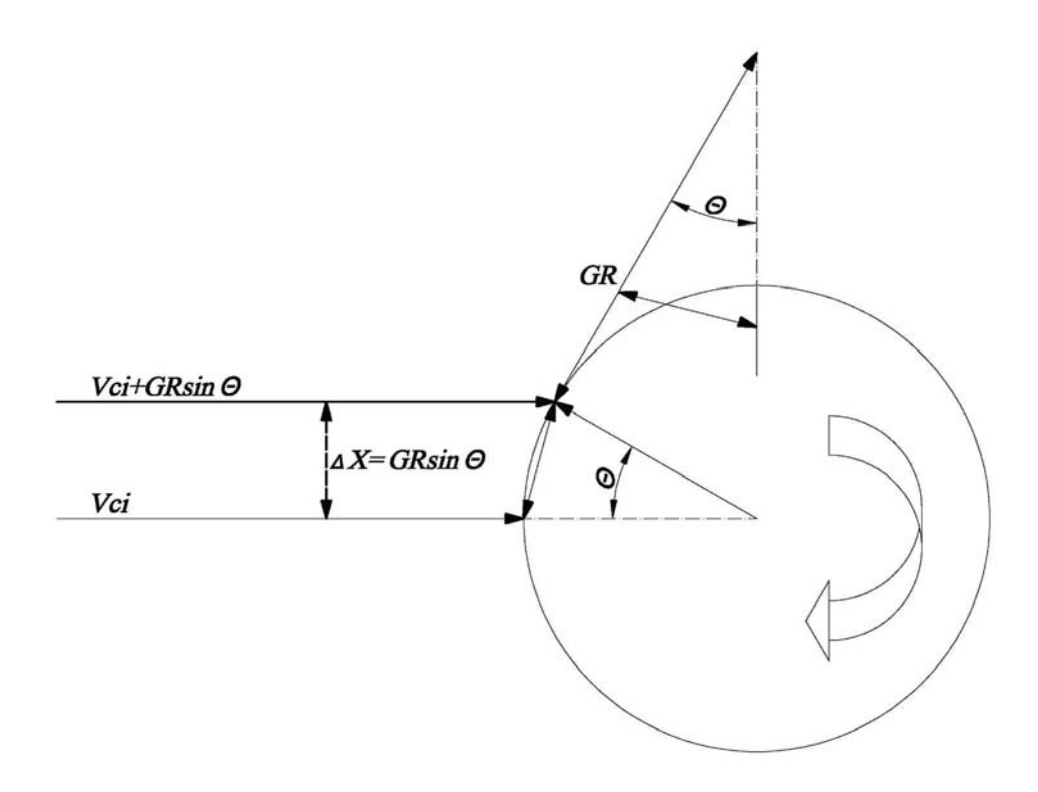


Рис. 1. Иллюстрация подхода к расчету зависимости вязкости от скорости сдвига. Ось X направлена вертикально вверх. Направление вращения фрактального агрегата (круг на схеме) относительно центра инерции показано изогнутой фигурной стрелкой внутри круга. Остальные пояснения в тексте

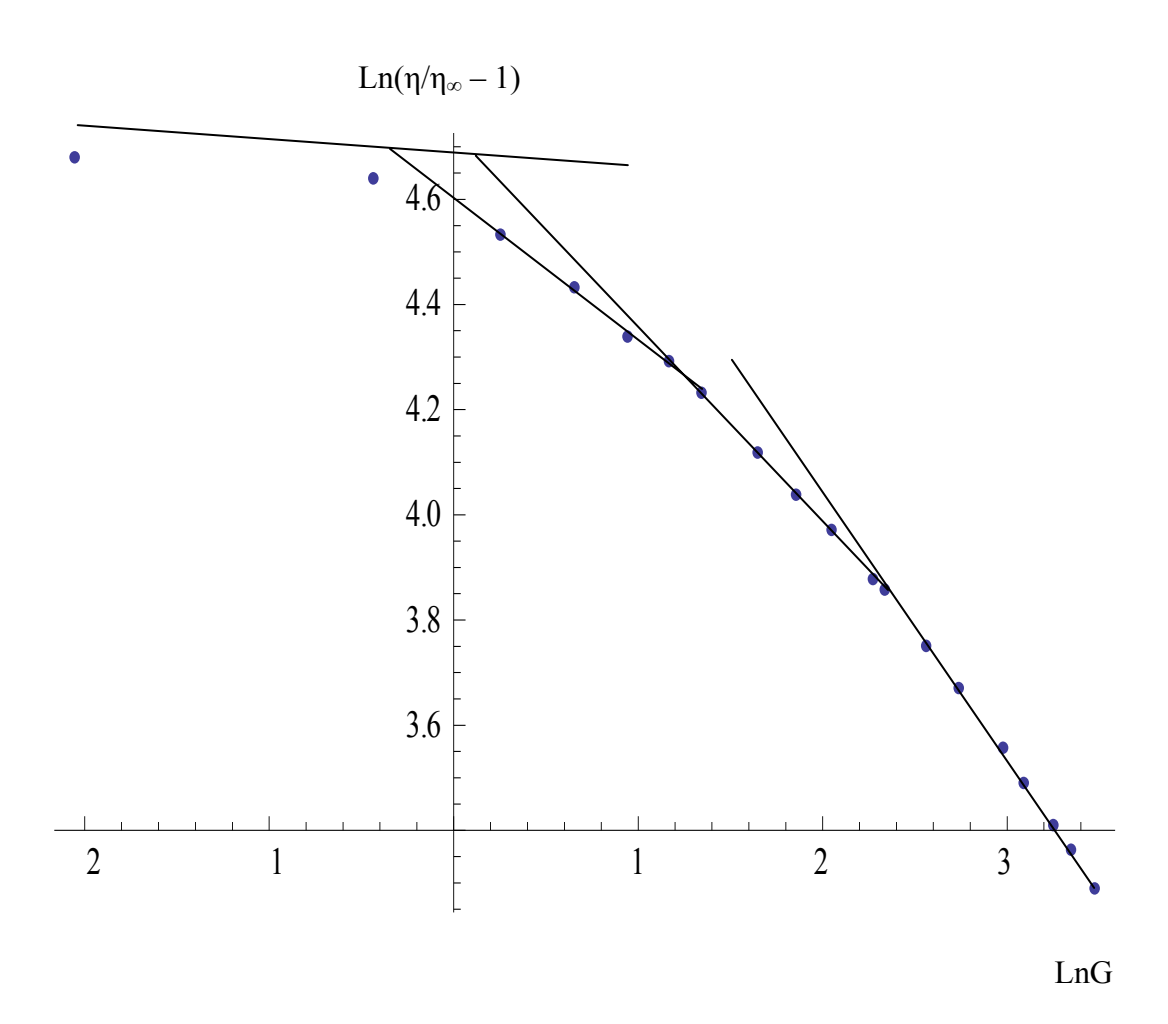


Рис. 2. Зависимость  ${\rm Ln}(\eta/\eta_{\infty}-1)$  от  ${\rm Ln}G$ , снятая при комнатной температуре для 6%-ного раствора ксантогената целлюлозы в воде. По мере роста G величина растет и составляет  $\alpha=0.025;\ 0.27;\ 0.36;\ 0.6.$  При  $\eta\ (G\approx 0)=1.7$  Па·с,  $\eta_{\infty}=0.015$  Па·с, B=100

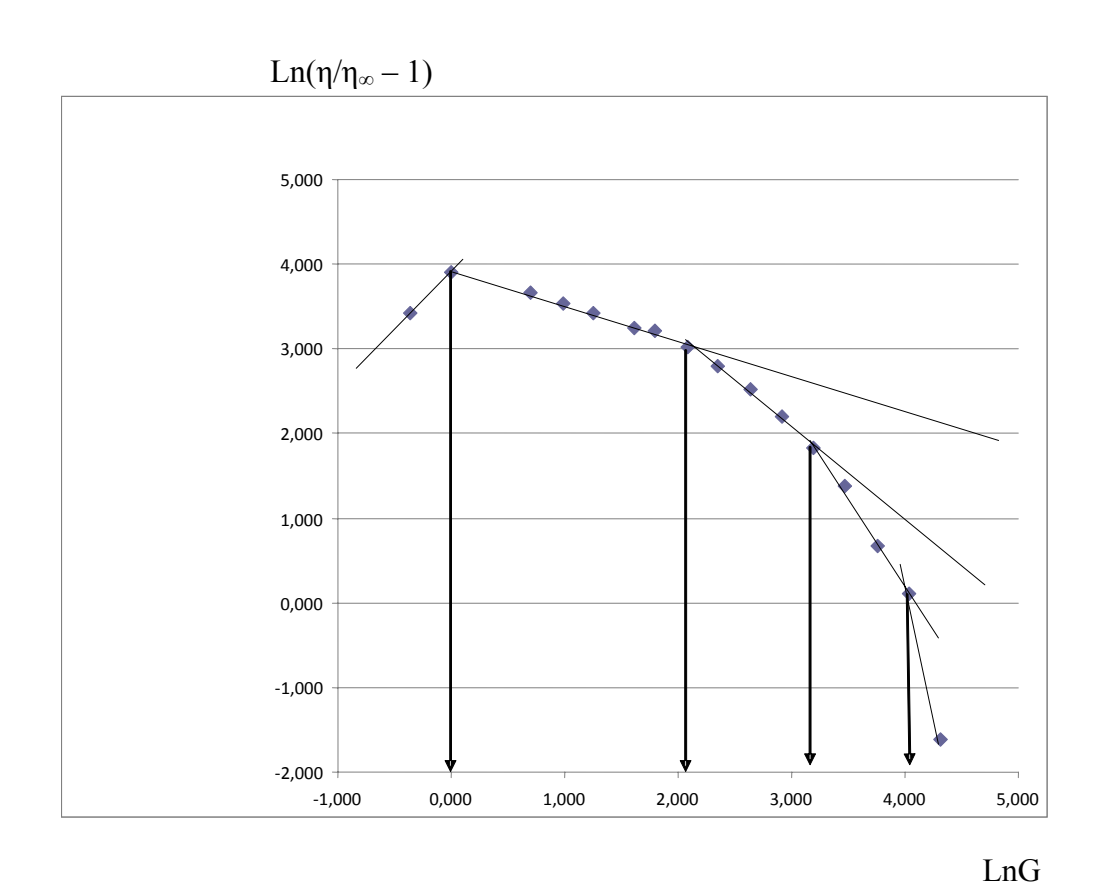


Рис. 3. Зависимость  ${\rm Ln}(\eta/\eta_{\infty}-1)$  от  ${\rm Ln}G$ , снятая при комнатной температуре для образца нефти.  $\eta~(G\to 0)\approx 25~{\rm M\Pi a\cdot c},~\eta_{\infty}=0,5\cdot {\rm M\Pi a\cdot c},~G_{\rm min}\approx 3~{\rm cek}^{-1}$